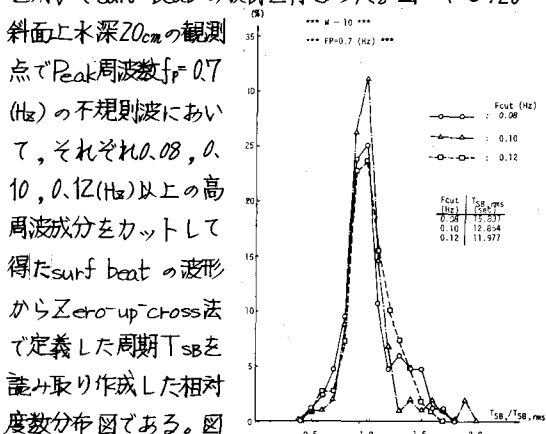


浮遊構造物の長周期動搖について

住友建設株式会社 正員 ○ 池田 幸寿
 鳥取大学 工学部 正員 木村 晃
 鳥取大学 工学部 正員 瀬山 明

1.はじめに：浅海域で見られる浮遊構造物の長周期動搖という現象は、外海から来襲した長周期の波により生ずるものと考えられて来た。本研究では新たに、同現象発生の原因を波群の来襲に伴い現われるsurf beatに求め、surf beatの特性を検討すると共にそれによる浮遊構造物の長周期動搖について検討を行なったものである。

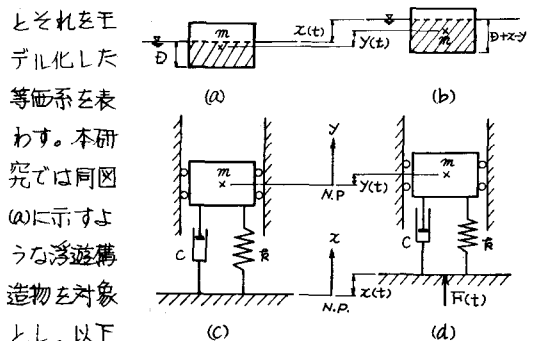
2. Surf Beat の解析：本研究では、著者らが不規則波の伝播特性に関する実験を実施した際のデータを用いてsurf beatの検討を行なった。図-1は1/20斜面上水深20cmの観測



よりsurf beatの周期はほぼ一定として良い事、Cut off周波数を若干変えてても分布は大して変化せずその平均周期は表面波の平均周期の7~10倍程度の値をとる事などがわかる。また表-1は、上記方法で定義した波高H_{SB}の分布から

Weibull確率紙を用いて決定したその形状母数の値を示したものである。同表か表-1 波高の形状母数、f_p等を種々変化させた場合にも形状母数の値はほぼ一定値1.3をとる。つまり、surf beatの波高は指數分布とRayleigh分布の中間的な分布形状を示す。

3. 浮遊構造物の変位応答：図-2は実際の振動系



とそれをモデル化した等価系を表わす。本研究では同図(a)に示すような浮遊構造物を対象とし、以下のように仮定の下に議論を進める。(1) surf beatの周期は一定、(2) 浮遊構造物は入射波の波長に比して充分大きい為、波自体による動搖はほぼ無視でき、平均水位の変動(surf beat)のみによって動搖する、(3) 構造物は剛体、(4) 構造物は上下方向のみに動搖し、変位に比例した復元力と速度の1乗に比例した減衰力を受ける為線形1自由度のバネ質量系として取り扱うことができる。上記仮定に基づき運動方程式を立てると次式のようになる。

$$m\ddot{y} + c\dot{y} + \frac{\pi}{L} y = F_0 \sin(\omega_{SB}t + \phi) \quad \dots (1)$$

$$F_0 = H_{SB} \frac{\pi}{L} / 2 \cos \phi \quad \dots (2)$$

$$\phi = \tan^{-1}(\omega_{SB}/\frac{\pi}{L}) \quad \dots (3)$$

ここで、m: 系の有効質量、c: 減衰係数、良: バネ定数、H_{SB}: 水位変動幅、ω_{SB}: 水位変動の円振動数、φ: 作用外力と水位変動の位相差である。

今、式(1)のF(力)のかわりに

$$F_i(t) = \begin{cases} F_0 \sin(\omega_{SB}t + \phi) & (i-1)T \leq t \leq iT \\ 0 & \text{otherwise} \end{cases}$$

つまり、間欠的な1周期分の水位変動が作用した場合の浮遊構造物の変位は式(4)より次式で与えられる。

$$y_i(t) = \begin{cases} F_0 e^{\frac{-\beta_1 t}{2}} \cos(\omega_{SB}t + \omega_{SB}t + \phi - \beta_1 \frac{t}{2}) & (i-1)T \leq t \leq iT \\ 2m\omega_{SB} \sqrt{(\omega_{SB})^2 + (\omega_{SB}t + \omega_d)^2} & \\ F_0 e^{\frac{-\beta_1 t}{2}} \cos(\omega_{SB}t + \omega_{SB}t + \phi - \beta_1 \frac{t}{2}) & (i-1)T \leq t \leq iT \\ 2m\omega_{SB} \sqrt{(\omega_{SB})^2 + (\omega_{SB}t - \omega_d)^2} & \end{cases}$$

$$t > (i-1)T$$

$$0 \leq t \leq (i-1)T$$

(4)

ここに、 $\omega_n = \sqrt{k/m}$, $\omega_d = \omega_n \sqrt{1-\zeta^2}$, $\zeta = C/2\sqrt{mk}$, $\beta_1 = \tan^{-1}((\omega_{SB} + \omega_d)/\zeta\omega_n)$, $\beta_2 = \tan^{-1}((\omega_{SB} - \omega_d)/\zeta\omega_n)$ であり積分の上限 t は $(i-1)T \leq t \leq iT$ の時 $t = t$, $t > iT$ の時 $t = iT$ である。浮遊構造物は外力の作用が終了しても暫くは動搖を続ける。外力の影響がどの程度まで及ぶかという問題について、本研究では浮遊構造物の変位応答の整定時間 T_s (式(1))のインディシャル応答が平衡値の±5%以内に入るのに要する時間。図-3参照)を用いた。そして T_s の値がsurf beatの周期の何周部分に相等するかという事で、考慮すべきsurf beatの履歴数を決めた。(表-2参照)同表より、それがNと読み取れ任意時刻において第n番目の水位変動が作用している場合の浮遊構造物の変位は、系が線形である為 T_s 内の $N+1$ 回の水位変動による変位応答の重ね合わせ、即ち次式で求められる。

$$y(t) = \sum_{i=n-N}^n y_i(t) \quad [(n-1)T \leq t \leq nT]$$

ここに、 $y_i(t)$ は第*i*番目の水位変動による浮遊構造物の変位応答を意味する。図-4は ω_{SB}/ω_n の値を変化させた場合の式(4)の結果を示したものである。図より、 ω_{SB}/ω_n の値が増大するのに伴い下は長くなり変位は小さくなることがわかる。また図-5は変位応答の増幅率 η を示したもので、浮遊構造物は小規模な振幅で非常常に、くりと上下に長周期で動搖し、特に問題となるような大きな動搖は同図で $t \approx T_m$ (T_m : T_{max} 時の T)の共振状態にある場合に生ずると考えられる。

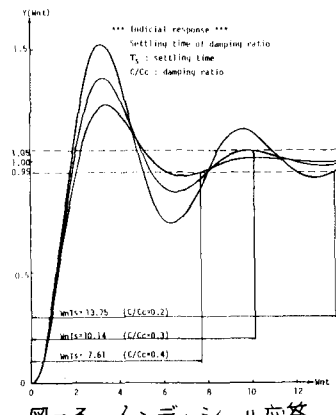


図-3 インディシャル応答
表-2 考慮すべき履歴数

C/C_c	0.1	0.2	0.3	0.4	0.5	0.6	0.7
ω_{SB}/ω_n	1	1	1	1	1	1	1
0.2	1	1	1	1	1	1	1
0.6	3	2	1	1	1	1	1
1.0	5	3	2	2	1	1	1
1.4	7	4	3	2	2	2	1
2.0	10	5	4	3	2	2	1

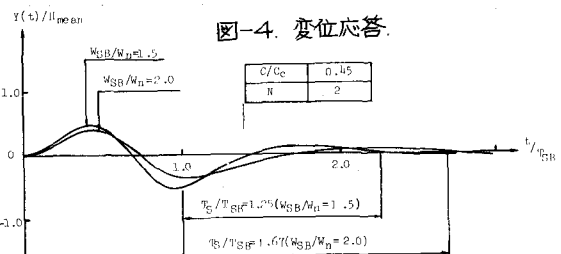


図-4. 変位応答.

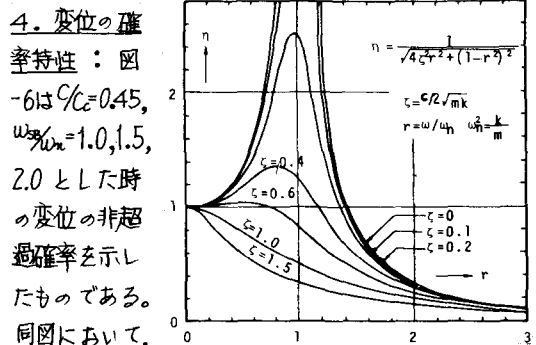


図-5 変位応答の増幅率

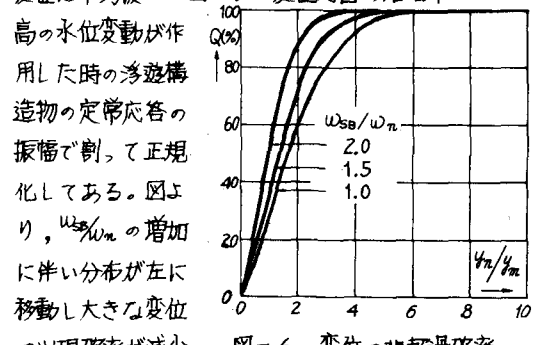


図-6 変位の非超過確率
しており、例えば $\omega_{SB}/\omega_n = 1.5, 2.0$ の90%非超過確率は $\omega_{SB}/\omega_n = 1.0$ のそれのそれぞれ8割、6割に減少することができる。

5. おわりに：本研究は、具体的な浮遊構造物を想定して行なったものではないため、パラメーター等の選定には実際にその長周期動搖が問題となる浮遊構造物のそれにただちに適用できるような系統的なものにすることができなかつた。今後、実験による検証も含めてここに示した理論の妥当性を検討することが必要である。

<参考文献>

木村晃、渡山明、浜島勝雄：不規則波による海上構造物の変位の確率特性、第28回海講、pp401～405、1981。